

№ п/п	Пункт	$\Delta$ , км	№ п/п	Пункт	$\Delta$ , км	№ п/п	Пункт	$\Delta$ , км
7	баллов	29	29	Солдатское	110	66	Бахт	130
1	Тавакай	5	30	Сарыарья	120	67	Самсоновка	145
	6-7 баллов		31	Джетысай	120	68	Ленинабад	155
2	Чирчик	17	32	Пангаз	125	69	Уртатожское	160
3	Комсомольск	25	33	Баткум	145	70	Иделовск	165
	6 баллов		34	Гулистан	150	71	Караев	180
4	Газалент	12	35	Хаваст	175	72	Кировское	200
5	Троицкое	25	36	Богустан	40	73	Ура-Тобе	205
6	Горное	35	37	Фотзево	50	74	Ратна-Арап	255
7	Дурмень	40	38	Ченгельчи	55	75	Белые воды	95
8	Станица Келес	45	39	Янгынбад	70	76	Чимкент	95
9	Турбат	20	40	Ток-Тепа	70	77	Канышкия	120
10	Ходжикент	30	41	Ангрен	80	78	Ваниновка	125
11	Кара-Калпак	35	42	Мурат-Али	80	79	Бурно Октябрьское	160
12	Луначарское	45	43	Тельзу	85	80	Гроллерарск	
13	Ташкент.	50	44	Алматык	90	81	Шаульдер	170
5-6 баллов			45	Бука	100	82	Аркит	175
14	Ленинское	30	46	Алтын-Топкан	110	83	Ленинполь	200
15	Каратас (Шарапхона)	35	47	Адрасман	115	84	Ферганы	220
16	Паркент	35	48	Кировский	135	85	Кентай	230
17	Заркент	40	49	Ильин	135	86	Ачишкан	235
18	Янги-Баэр	40	50	Чорук-Дайрон	140	87	Кадамджай	255
19	Сары-Агац	45	51	Славянка	145	88	Михайловка	275
20	Абай	65	52	Чардача	145	89	Михайловка	445
21	Тоя-Бугуз	75	53	Кайраккум	155	90	31.I-31.III	9
4-5 баллов			54	Бекабад	165	91	1.IV (до конца года)	13
22	Чарвак	25	55	Бекабад	190	92	1.IV	5
23	Степное	25	56	Зарбон	90	93	2	1
24	Бурчулла	40	56	(Ломакино)	91	94	1	1
25	Навай	40	57	Пахтакор	205	95		
26	Дарбаза	50	58	Айсанай	230	96		
27	Янги-Юл	75	59	Джиззак	235	97		
28	Амкурган	105	60	Абурдон	250	98		
					2 балла	99		
						100		
						101		
						102		
						103		
						104		
						105		
						106		
						107		
						108		
						109		
						110		
						111		
						112		
						113		

### Заключение

В 1977 г. на территории Средней Азии и Казахстана было зарегистрировано и обработано 1628 землетрясений с  $K \geq 2$ . На основе данных об этих землетрясениях были построены карты эпицентров и гипоцентров, графики повторяемости и графики выделяющейся суммарной сейсмической энергии. Было показано, что сейсмическая активность участки, так же как и в 1976 г., находятся в памиро-гиндукушской зоне и приурочены к хребтам Алайскому, Заилийскому, Пегра Первого, Началась значительная активизация в ранее слабоактивной области хребтов Актау и Тереклитау. Активизировалась южно-тинь-шанская зона, где на территории Южно-Ферганских разломов произошли самые сильные землетрясения года — Исафара-Баткенское ( $K = 15$ ) и Хайдарканское ( $K = 14$ ).

### ЛИТЕРАТУРА

- Уломов В.И., Флешева М.Г., Каток А.П. и др. Землетрясения Средней Азии и Казахстана. — В кн.: Землетрясения в СССР в 1976 году. М.: Наука, 1980, с. 27-39.
- Захарова А.И., Каток А.П., Розова Е.А. и др. Землетрясения Средней Азии. — В кн.: Землетрясения в СССР в 1969 году. М.: Наука, 1973, с. 41-80.
- Каток А.П. Сейсмичность Таджикистана в 1962 году. — В кн.: Землетрясения в СССР в 1962 году. М.: Наука, 1964, с. 79-84.

31 января 1977 г. в 14 ч 26 м 13,5 с по гринвичскому времени (20 ч 26 м по местному времени) в юго-западной части Ферганской долины произошло землетрясение с магнитудой  $M = 6,1$ , охватившее секторами обширную пограничную зону Киргизии, Таджикистана, Узбекистана. В эпицентре — широкую зону интенсивности сотрясения достигала 7-8 баллов. По размерам очага и по выделенной энергией оно является крупнейшим в юго-западной части Ферганской долины.

Координаты эпицентра этого землетрясения, определенные по инструментальным данным сети сейсмических станций Средней Азии и Казахстана, следующие:  $\phi = 40,05^{\circ}$  с.ш.,  $\lambda = 70,52^{\circ}$  в.д.; значения глубины очага, вычисленные по инструментальным и макросейсмическим данным, практически совпадают и равны  $2,5 \pm 5$  км. В эпицентralной зоне зарегистрировано более 150 повторных толчков, происшедших с момента возникновения землетрясения до конца 1977 г., по энергетическим классам приведено ниже:

Класс	9	10	11	12	13
31.I-31.III	13	5	1	3	1
1.IV (до конца года)	4	2	1		

Очаговая область (если полагать, что она соответствует области афтершоков) накрывает Межку реками Исара и Сох, причем центр ее сместился при мерно на 7 км на северо-запад относительно главного толчка. Площадь области эпицентров афтершоков  $S \gg 9$ , проширившихся до 25 марта, составляет 200 км<sup>2</sup>. Далее с течением времени она несколко расширялась.

Самые сильные повторные толчки достигали интенсивности 5-6 баллов (см. рис. 3 в статье "Землетрясения Средней Азии"). Основной толчок опущался на большую часть территории Киргизии и на значительных площадях Таджикистана, Узбекистана, а также юго-западных районов Казахстана. Во фрунзе оно проявилось с силой 3 балла, а в Ташкенте — 5-6, в Оше — 5, в Гуашанбе — 3-4 балла. Максимальные сотрясения охватили районы между реками Сох и Исафара.

В результате макросейсмического обследования были получены сведения об оптическости землетрясения более чем в 357 населенных пунктах (см. таблицу,  $\Delta$  — расстояние от эпицентра, определенного по инструментальным данным). На основании этих данных построена карта изосейст, которая дает возможность оконтурить положение очага и плейстоценовой области, а также оценить характер распространения землетрясения в различных направлениях (рис. 1, вкл; рис. 2).

Плейстоценовая область Исафара-Баткенского землетрясения, обрисованная изосейстой 7 баллов, имеет форму вытянутого эллипса, большая ось которого ориентирована с севера-запада на юго-восток (рис. 1). Длина эллипса 30-35 км, средняя ширина около 1,5 км. В пределах плейстоценовой области, занимавшей площадь около 500 км<sup>2</sup>, расположено более 25 населенных пунктов, что свидетельствует о большой плотности населения на территории, где землетрясение проявилось с наибольшей силой.

Максимальная зона сотрясения, первая 7-8 баллов, не имеет четких границ. В плане эту зону можно условно выделить в виде узкой прерывистой полосы шириной 1-2 км широтной ориентации общей протяженностью около 22 км.



Таблица (окончание)

№ п/п	Пункт	Δ, км	№ п/п	Пункт	Δ, км	№ п/п	Пункт	Δ, км
2 балла								
344 Бирлик	464	349	Канемек	485	354	Новогородское	465	
345 Байкацам	413	350	Китаб	356	355	Нишан	470	
346 Гузар	426	351	Мубарек	494	356	Токмак	478	
347 Дехканбап	420	352	Московский	288	357	Шерикан	536	
348 Касан	465	353	Мерке	364				

В этой зоне расположаются наиболее разрушенные селения: Кызылы-Гильган, пос. Больница, Офтоборуй и Дагана, Кызылбель, Булакбаши, Базарбаш и Карабак. Эпицентр, определенный по инструментальным данным, находится в 5-7 км северо-восточнее г. Баткен, примерно в середине 6-балльной зоны, и не совпадает ни с одним участком максимальных разрушений. В его районе сила землетрясения не превышала 7 баллов. Изосейста, ограничивающая 6-7-балльную зону сопряжений, имеет ту же конфигурацию и простирание, что и 7-балльная зона.

Шестиконфигурация первой изолинии. Ее общая площадь 4300 км<sup>2</sup>, ширина около 90 км, конфигурация примерно 50 км.

Зона 5-балльного сотрясения составила 52 335 км<sup>2</sup>, 4-балльного - 79 910 км<sup>2</sup>. Общая площадь сотрясений выше 4 баллов была равной 135 015 км<sup>2</sup>. Изосейста 5-балльной зоны имеет сложную конфигурацию, особенно в ее северных гранях. Наблюдается резкое расширение площади 5-балльного сотрясения, а направление простирания длиной оси изосейсты снова возвращается к широтному. На юге 5-балльная изосейста близко прижимается к 6-балльной, в то время как на севере эта граница отходит на значительное расстояние.

Четырехбалльная изосейста в целом повторяет сложную конфигурацию 5-балльной изосейсты. Продолжается расширение 4-балльной зоны на севере и на юге-западе по сравнению с южной и юго-западной частями. Большая ось 4-балльной изосейсты продолжает унаследованый поворот и имеет уже северо-восточное направление.

Землетрясение в плейистосейстойской области произошло в виде резкого, кратковременного вертикального толчка, горизонтальные колебания были выражены слабее. За мгновение до основного толчка землетрясения слышался гул. Многие заметили свечение над горизонтом. Направление источника гула и свечения, по свидетельству большинства очевидцев, в общем совпадает. Источник гула и свечения тяготеет к Вершинам и южным склонам западного продолжения гор Гузан. Однако положение этого источника не совпадает ни с макросейсмическим, ни с инструментальным эпицентрами землетрясения. Характер гула изменялся в зависимости от интенсивности землетрясения. Так, в эпицентральной зоне гул был подобен гулу напыгивающегося порыва сильного ураганного ветра, а на удалении по мере ослабления разрушительной силы землетрясения он напоминал гул мощного подземного взрыва или звук быстрого движения большого числа гусеничных машин. Замечалось беспокойство животных перед землетрясением. Интересно также отметить редкое звуковое явление, превышающее основное гул. Рассказавший об этом явлении житель кишлака Кулькент сидел во дворе под навесом, на котором был сложен стог сена. Из стога слышался шелест. Ему показалось, что шелест вызван залегающими и шевелявшимися в сене птицами, локоть которых он наручил. Только после этого он услышал гул, надвигавшийся порыва ураганного ветра.

В зоне 7-8-балльного сотрясения произошло разрушение жилых и общественных зданий, построенных без учета антисейсмических норм. Следует отметить, что как в 7-8-балльной, так и в 7-балльной зонах покоящее большинство строений возведены без учета норм сейсмостойкого строительства; разрушение малых повреждений обусловлено инженерно-геологическим и тектоническим строением территории землетрясения. Одним из определяющих факторов возрастания интенсивности землетрясения при этом явилась глубина залегания уровня грунтовых вод, особенно в суглинистых грунтах. Наиболее близко к поверхности земли грунтовые воды находятся в зонах сильного землетрясения.

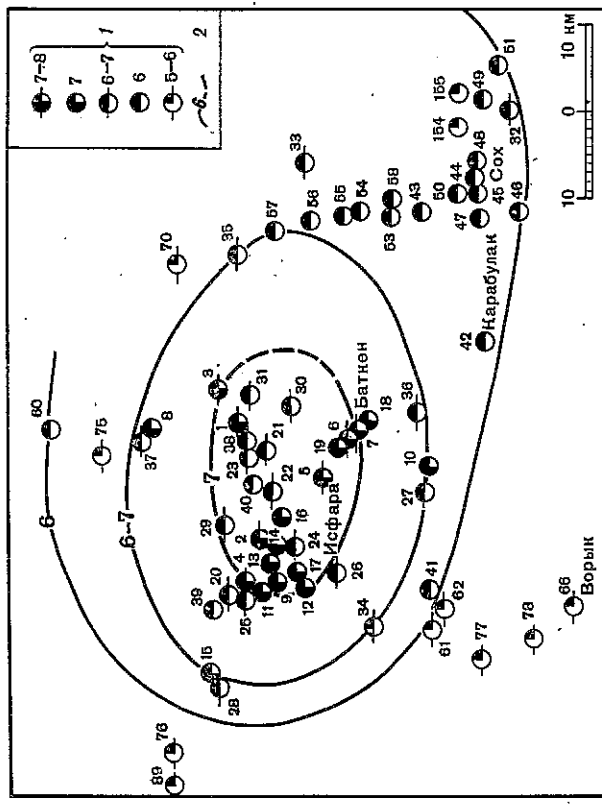


Рис. 2. Эпицентральная зона Исфара-Баткенского землетрясения  
Условные обозначения см. рис. 1

их привело к значительному материальному ущербу. В селениях Сифтоборуй, Дагана, Кызылы-Гильган и в пос. Больница сооружения преимущественно относятся к типу А, реже - к типу Б (в соответствии с классификацией школы MSK-64). К сооружениям типа А относятся дома из кирпича-сырца, из рваного камня, а также глинобитные постройки "синдж", "покса", "синдж-покса", "купюхи". Повреждения в сооружениях типа А - четвертой степени, реже - пятой: сквозные трещины и проломы в стенах, обрушение частей зданий, иногда - полное обрушение зданий. В обычных кирличных зданиях, возведенных из естественного тестового камня (тип Б), - повреждения третьей, реже четвертой степени: сквозные трещины в стенах, разрушение связей между отдельными частями зданий, падение дымовых труб. Обрушение стен зданий типа А происходит наружу. Во многих домах по всем четырем углам образовались открытые трещины, расходящиеся вверху, и все четыре стены "падали" наружу "конвертом".

В 7-8-балльной зоне произошло грешнообразование на естественных грунтах, деформация насыпных грунтов. Трещины, образовавшиеся на супесчано-глинистых, водонасыщенных грунтах в условиях равнинного рельфа, достигли длины нескольких метров и имели субширотное простирание. Они прослеживались вплоть до сейсмостойкой области землетрясения на протяжении 20-22 км. Часть из них - эзяючи, с выходом грунтовых вод.

В 7-балльной зоне в зданиях типа А произошли повреждения третьей степени, реже - второй и четвертой, в зданиях типа Б - второй, реже - третий степени, в зданиях типа В - первой степени. В зоне наблюдаются деформации искусственных насыпных грунтов в откосах дюнокного пология, а также остационные сейсмогравитационные деформации на склонах гор Гузан и в уступах речных террас. В 6-балльной зоне дома типа А получили повреждения первой степени, в 5-балльной зоне изредка встречаются повреждения в домах типа А первой степени.

Отмеченное выше насыщение инструментального эпицентра с зоной максимума повреждений обусловлено инженерно-геологическим и тектоническим строением территории землетрясения.

Одним из определяющих факторов возрастания интенсивности землетрясения при этом явилась глубина залегания уровня грунтовых вод, особенно в суглинистых грунтах. Наиболее близко к поверхности земли грунтовые воды находятся в зонах сильного землетрясения.

дятся в районе кишлаков Офтобруд, Дагана, пос. Больница и в районе северо-восточнее кишлака Чильгазы, где уровень грунтовых вод находится на глубинах 0–3 м.

В пос. Больница, расположенным на лессовидных суглинках мощностью свыше 10–15 м при уровне грунтовых вод 0–5 м, землетрясение проявилось на один раз выше, чем в пос. Ляккан (6–7 баллов). Последний расположен на валуно-гальниковых отложениях с щебнем и суглинистым заполнителем при уровне грунтовых вод 3–5 м и ниже. В кишлаке Офтобруд интенсивность землетрясения достигала 7–8 баллов, на участке овцеводческой фермы колхоза им. Куйбышева, находящейся в 4 км северо-восточнее от кишлака, – 6–7 баллов. Киплак Офтобруд расположен на лессовидных суглинках с включением гравия при уровне грунтовых вод менее 1 м. Такое же увеличение интенсивности сотрясений, связанный с уровнем грунтовых вод, происходило и в пос. Кызыл-Липец, Дагана и т.д.

Таким образом, можно отметить, что распространение наиболее значительных остаточных деформаций на грунтах и разрушение многих поселков в северной части Исфара–Лякканской впадины и горах Гузан вызваны инженерно-геологическими условиями пород и уровням залегания грунтовых вод.

Характерными особенностями карты изосейсмий этого землетрясения являются, с одной стороны, сравнительно малая область наибольших разрушений и относительно небольшие размеры плоскостей, ограниченных изосейсмами 6– и 7-балльными изосейсмами, а с другой – значительные размеры области ощущимости.

Наибольшие концентрации максимальных сопряжений в районе над очагом зоны, а также чрезмерно большие различия между плоскостями, ограниченными изосейсмами высоких и малых баллов, дают основание предположить, что Исфара–Баткенское землетрясение возникло на поверхности крутоого разрыва, имеющего глубокое залегание. О кругом погружении очага в глубину свидетельствуют также однознаковые расстояния между изосейстами высших баллов по отношению к осевой части плектосейстовой зоны. И, наконец, анализ распределения афтершоков по глубинам показывает, что очаги афтершоков погружаются под крутым углом (75–80°) в южном и юго-восточном направлениях до глубины 15–20 км. При этом наблюдается очевидная тенденция к вытягиванию зоны афтершоков Исфара–Баткенского землетрясения, по всей вероятности, имеет кругой (75–80°) наклон в южном и юго-восточном направлениях.

Механизм очага, определенный Т.А.Доллатиной по записи 37 сейсмических станций, также показывает, что разрыв происходит по плоскости примерно широтного простирания и падает почти на юг под углом 37° к горизонту (53° к вертикали). Подвижка по этой плоскости направлена к северо-западу под углом 16° к горизонту. Видимое крыло поднимается. Происходит надвигосдвиг.

Сейсмический момент  $M_0$  рассчитывался по формуле:  $M_0 = \mu S D$ , где  $\mu$  – модуль упругости сдвига, равный 3.10.11 дин/см;  $S$  – площадь разрыва, равная  $Lh$ . Длина разрыва  $L = 35$  км и его ширина  $h = 15$  км определены на основании макросейсмических данных и пространственного размещения афтершоков. Средняя величина подвижки по плоскости разрыва  $D = 40$  см взята по корреляционному графику Чиннери [1]. При этом для данного землетрясения  $M_0 = 0,35 \cdot 10^{26}$  дин/см.

Величина сброшенного напряжения  $\Delta\delta$ , рассчитанная по формуле, приведенной в работе [2], равна  $1,15 \cdot 10^7$  дин/см  $\frac{2}{2} \approx 1,15$  бар. Найденные величины  $M_0$  и  $\Delta\delta$  хорошо согласуются с данными для неглубоких землетрясений с  $M=6,5 \pm 6,7$  [1]. Горизонтальная и вертикальная прорезанности очага оценены по размещению повторных толчков и макросейсмическим данным [3]. Глубина до верхней части очага равна 10 км, до основной части – около 25 км. Близширотное простирание плоскостей разрыва уверенно определяется как по положению области афтершоков, так и по вытянутости первых изосейсм.

Исфара–Баткенское землетрясение произошло в пределах Южно-Ферганской сейсмогенной зоны, выявленной и нанесенной на новую карту сейсмического районирования масштаба 1:2 500 000 совместными усилиями специалистов Кир-

[4].

Эпицентр основного толчка и подавляющая масса эпикентров последующих толчков приурочены к зоне Южно-Ферганского глубинного разлома, в том числе и к западному флангу одной из его составляющих – Северо-Катранскому разлому [5]. Плотное "облачко" эпикентров афтершоков практически полностью перекрывает узел на стыке Северо-Катранского разлома с сектурами разрывами северо-западного простирания.

Выше было отмечено, что гипоцентр основного толчка расположен на глубине 25±5 км. В структурном отношении он занимает место в южной части зоны Южно-Ферганского глубинного разлома, тяготея к плоскости Северо-Катранского разлома, имеющего здесь крутое падение.

На основании геоструктурного анализа Г.Н.Винниченко и Л.М.Лысков пришли к заключению, что рассматриваемый сейсмический акт связан с реализацией напряжений по Южно-Ферганскому разлому [6]. Таким образом, возникновия большинства геологов о генетической связи возникновения Исфара–Баткенского землетрясения с подвижками в Южно-Ферганском разломе совпадают.

#### ЛИТЕРАТУРА

1. Ризниченко Ю.В. Размеры очага корового землетрясения и сейсмический момент. – В кн.: Исследование по физике землетрясений. М.: Наука, 1976, с. 9–27.
2. Ризниченко Ю.В., Джибладзе Э.А., Болкадзе И.Н. Слекры колебаний и параметры очагов землетрясений Кавказа. – В кн.: Исследования по физике землетрясений. М.: Наука, 1976, с. 74–86.
3. Шебалин Н.В. Очаги сильных землетрясений на территории СССР. М.: Наука, 1975, с. 79–86.
4. Джанузаков К.Д., Ильясов Б.И., Кнауф В.И. и др. Сейсмическое районирование Киргизской ССР. Фрунзе: Илим, 1977.
5. Калмураев К.Е., Кнауф В.И., Юдахин Ф.Н. и др. Предварительные результаты изучения Исфара–Баткенского землетрясения 31 января 1977 года. – Изв. АН КиргССР, 1977, № 5, с. 11–19.
6. Винниченко Г.Н., Лысков Л.М. Геологические условия возникновения Исфара–Баткенского землетрясения 31 января 1977 года. – Сильные землетрясения Средней Азии и Казахстана, 1980, № 5.

УДК 550.341-550.349.1

И.В. Анианян, С.М. Касямов, А.Джурас, П.Мадатов, С.А. Абдурахманов,  
Г.Л. Голинский, Ч.Муратов, А.Р. Рахимов, В.К. Иодко,  
А.Ф. Краснова

## Макросейсмические данные газлийских землетрясений

Землетрясения 8 апреля и 17 мая 1976 г. ощущались почти на всей территории Узбекской и Туркменской ССР, частично на территории Таджикской, Киргизской и на юге Казахской ССР, охватив площадь около 1,5 млн. км<sup>2</sup>.

Последствия этих землетрясений изучали: на территории УзССР – экспедиция Института сейсмологии АН УзССР: С.М. Касямов – руководитель работ, А.Джурас, П.Мадатов, С.А. Абдурахманов; КиргССР – К.Н. Джанузаков; КазССР – А.Досымов. Кроме того, отдельные маршрутные поездки по территории УзССР были совершены И.В. Анеевным (ИФЗ АН СССР).

Изучение характера проявления землетрясений на территории ГССР проводилось сейсмологической экспедицией Института сейсмологии АН ТССР, во главе с